

EXTENDED ABSTRACT

Experimental investigation of the angle effect of the cylindrical bridge group piers relative to the flow direction on the maximum scour depth of the piers

B. Pourghasemzadeh^{1*} and M. Ghomeshi²

1*- Corresponding Author, Graduated Student of Water Engineering and Environment Faculty, Shahid Chamran University of Ahvaz, Ahvaz, Iran. (behnam.pourghasem@yahoo.com).

2- Professor of Water Engineering and Environment Faculty, Shahid Chamran University of Ahvaz, Ahvaz, Iran.

ARTICLE INFO

Article history:

Received: 8 September 2020

Revised: 7 March 2022

Accepted: 9 March 2022

Keywords:

Local scour, Clear water, cylindrical pier Group, Scour hole, angle

TO CITE THIS ARTICLE:

Pourghasemzadeh, B., Ghomeshi, M. (2022). 'Experimental investigation of the angle effect of the cylindrical bridge group piers relative to the flow direction on the maximum scour depth of the piers', *Irrigation Sciences and Engineering*, 45(3), pp. 131-145.

Introduction

Bridges are one of the important structures in the field of land communication. With the construction of these structures in the river, a flow pattern with a three-dimensional structure is formed in the vicinity of its piers, and as a result of increasing the flow speed and the formation of horseshoe vortex and wake vortices, part of the sediments around the piers and foundation will be washed away, and if the sufficient depth of foundation is not taken into account, the destruction of the bridge will result especially during floods. Road or railway crossing over the rivers is limited to the particular reach of the rivers which is determined by the general direction of the road or railway. Moreover, the general direction of the road or railway determines the position of the bridge over the river. Selection of the bridge path angle relative to the river flow direction is very important. Sometimes, due to the geographical conditions of the region and the general direction of the road or railway, the bridge crossing directly perpendicular to the flow direction is impossible. In this case, the bridge deck diagonally crosses over the river and the bridge group piers are angled relative to the flow direction. In such case, the distance between the piers, the flow direction relative to the piers and the piers submergence are very important parameters which affect the scour depth.

Methodology

The experiments of this research are carried out in a laboratory channel six meters long, 0.73 meters wide and 0.6 meters high with a longitudinal slope close to zero located in the Laboratory of Physical and Hydraulic Models of the Faculty of Water & Environmental Engineering, Shahid Chamran University of Ahvaz. The walls of the channel were made of

glass with a thickness of 10 mm and the bottom was made of iron. The channel has a tank at the beginning and also at the end. A flowmeter installed at the beginning of the channel was used to measure the flow rate. The required water was transferred from the main tank to the channel by a pump with a maximum flow rate of 26 liters per second, and in order to remove the disturbance of the flow, a mesh net was used immediately after the inlet of flume. A sliding valve has been designed to control and regulate the water level at the downstream end of this channel, through which it is possible to return water to the tank and drain or circulate in the system. The geometric standard deviation of the sand particles used in the experiments is equal to 1.3. According to the mentioned conditions, an area of the flume with a length of approximately two meters and a thickness of 0.1 meter was covered with fine sand sediments with uniform grain size and an average diameter of 0.0005 meters. The diameter of the bridge piers (D_p) used in the experiments was 25 mm, which are made of PVC. The arrangement of the piers were three groups of triplets, and the center-to-center distance of these piers was 10 cm (equal to four times the diameter of the piers). Also, the distance between the groups of piers was 18.5 cm (equivalent to 7.4 times the diameter of the piers).

Results and discussion

In this study, the effect of the angle of the bridge group piers on the maximum scour depth at different angles relative to the flow direction ($0, \pi/18, \pi/9$ and $\pi/6$) at the clear water condition and for the three Froude Numbers (0.13, 0.15 and 0.17) were experimentally investigated. The results of the experiments indicated that with the increase in the relative speed of the flow, deeper and wider holes of scour are formed due to the activity of vortex around the piers groups. In general, with the increase in the Froude Numbers of the flow, the depth of scour holes increases as well as the longitudinal and transverse development of scour holes. Also, the results showed that with increasing of the angle of the group piers (0 to $\pi/6$) the maximum scour depth increases so that the maximum percent increases scour depth is equal to 36% that with changing of the angle of the group piers (0 to $\pi/6$) was observed in the Froude Number equal to 0.13.

Acknowledgment

This article has been prepared from the results of the MSc. thesis of the first author and with the support of the university's research unit through the second author's Grant (SCU.WH.98.86) by which the authors thank and appreciate the university's vice chancellor for research. We are grateful to the Research Council of Shahid Chamran University of Ahvaz for financial support. In addition, the spiritual support of the scientific center "Improvement and maintenance of irrigation and drainage networks" is thanked and appreciated.



© 2022 Shahid Chamran University of Ahvaz, Ahvaz, Iran. This article is an open access article distributed under the terms and conditions of the Creative Commons Attribution 4.0 International (CC BY 4.0 license) (<http://creativecommons.org/licenses/by/4.0/>).

بررسی آزمایشگاهی اثر زاویه گروه پایه‌های استوانه‌ای پل نسبت به جهت جریان روى حداکثر عمق آبشنستگی گروه پایه‌ها

بهنام پورقاسم زاده^۱ و مهدی قمشی^۲

- ^۱- نویسنده مسئول، دانش آموخته کارشناسی ارشد سازه‌های آبی، دانشکده مهندسی آب و محیط زیست، دانشگاه شهید چمران اهواز behnam.pourghasem@yahoo.com
- ^۲- استاد گروه سازه‌های آبی، دانشکده مهندسی علوم آب، دانشگاه شهید چمران اهواز.

پذیرش: ۱۴۰۰/۱۲/۱۸

بازنگری: ۱۴۰۰/۱۲/۱۶

دریافت: ۱۳۹۹/۰۶/۱۸

چکیده

عبور جاده و یا خط راه‌آهن از روی رودخانه‌ها محدود به بازه‌های خاصی از رودخانه‌هاست که توسط مسیر کلی راه مشخص می‌گردد، علاوه بر آن مسیر کلی راه راستای قرارگیری پل روی رودخانه را نیز تعیین می‌نماید، انتخاب راستای پل نسبت به مسیر جریان در رودخانه بسیار مهم است. گاهی بدليل شرایط جغرافیایی منطقه و مسیر کلی راه، امکان عبور پل به صورت مستقیم و عمود بر مسیر جریان در رودخانه میسر نمی‌باشد، در این صورت عرضه پل، به صورت مورب عرض رودخانه را طی می‌کند و راستای گروه پایه‌های پل که عمود بر راستای عرضه هستند با جهت جریان زاویه‌دار می‌شوند. در این حالت فاصله بین پایه‌ها، زاویه برخورد جریان به گروه پایه‌ها و همچنین میزان مستغرق بودن پایه‌ها، از مهم‌ترین عواملی هستند که عمق آبشنستگی را تحت تأثیر قرار می‌دهند. از این رو در مطالعه کنونی با شبیه‌سازی فیزیکی آبشنستگی، به بررسی اثر زاویه گروه پایه‌های استوانه‌ای پل نسبت به جهت جریان بر حداکثر عمق آبشنستگی گروه پایه‌ها در زاویه‌های صفر، $\pi/۹$ ، $\pi/۶$ ، $\pi/۴$ ، $\pi/۳$ رادیان در شرایط آب زلال با اعداد فرود $۰/۰$ ، $۰/۱۵$ و $۰/۱۷$ پرداخته شده است. نتایج حاکی از آن بود که با افزایش زاویه گروه پایه‌های پل نسبت به جهت جریان از صفر تا $\pi/۶$ رادیان حداکثر عمق آبشنستگی افزایش می‌یابد، به طوری که بیشینه درصد افزایش عمق آبشنستگی برابر است با ۳۶ درصد که با تغییر زاویه از صفر به $\pi/۶$ رادیان در عدد فرود $۰/۱۳$ مشاهده گردید.

کلید واژه‌ها: آبشنستگی موضعی، آب زلال، گروه پایه پل استوانه‌ای، حفره‌ی آبشنستگی، زاویه.

است، علی‌رغم اینکه تا به امروز روابط مختلفی برای پیش‌بینی و جلوگیری این پدیده به صورت تجربی ارائه شده است، لکن هر یک از آن‌ها در شرایط محيطی و هیدرولیکی خاص قابل استفاده هستند. همچنین آبشنستگی در گروه پایه‌ها موضوعی است که کمتر به آن توجه شده است. لذا تخمین دقیق حداکثر عمق آبشنستگی در اطراف گروه پایه‌ها به عنوان ضرورتی اجتناب‌ناپذیر در کارهای مهندسی رودخانه مطرح است. فرآیند آبشنستگی اطراف گروه پایه با تک پایه متفاوت می‌باشد. فرآیندهایی که آبشنستگی اطراف گروه پایه‌ها را تحت تأثیر قرار می‌دهند عبارتند از اثر تقویت کردن، اثر محافظت یا پناه دادن، اثر گرداب‌های جاری و اثر به هم فشرده‌گی گرداب‌های نعل اسپی (Hannah, 1978).

Sheppard و Renna (2005) فاصله بین پایه‌ها، زاویه برخورد جریان با پایه‌ها، میزان مستغرق بودن پایه‌ها و نیز آرایش یا نحوه قرارگیری پایه‌ها نسبت به هم، مهم‌ترین عواملی هستند که عمق

مقدمه

پل‌ها یکی از سازه‌های مهم در حوزه ارتباطات زمینی می‌باشند. احداث این سازه‌ها در رودخانه، الگوی جریانی با ساختاری سه‌بعدی در مجاورت پایه‌های آن شکل می‌گیرد که در نتیجه‌ی افزایش سرعت جریان و تشکیل گرداب‌های نعل اسی و برخاستگی، بخشی از رسوبات اطراف پایه و پی آن دچار آبشنستگی می‌شود و در صورت در نظر نگرفتن عمق کافی برای پی یا پایه‌ها، تخریب پایه‌های پل، به ویژه در زمان سیلاب را به دنبال خواهد داشت. یکی از مهم‌ترین و مؤثرترین عوامل این تخریب‌ها آبشنستگی اطراف پایه‌های پل ناشی از جریان رودخانه می‌باشد، به طوری که حدود ۶۰ درصد از تخریب پل‌ها را می‌توان به آبشنستگی یا عوامل هیدرولیکی دیگر نسبت داد.

Nourzad et al. (2001) مسئله‌ی آبشنستگی در اطراف پایه‌های پل سال‌های پل سال‌هاست که ذهن محققین را به خود مشغول نموده

حداکثر عمق آبشنستگی در زاویه ۲۵ درجه اتفاق افتاد. تحقیق حاضر، تأثیر زاویه گروه پایه‌های استوانه‌ای پل نسبت به جهت جریان، بر حداکثر عمق آبشنستگی در اطراف گروه پایه‌های پل با استفاده از مدل آزمایشگاهی را مورد توجه قرار داده است.

Movahedi et al. (2015) به بررسی آبشنستگی پیرامون گروه پایه دوتایی پرداختند و نتایج آن‌ها نشان داد که با افزایش فاصله بین پایه‌ها عمق آبشنستگی کاهش پیدا کرده و به تک‌پایه نزدیک می‌شود و با به کارگیری پی پوسته عمق آبشنستگی جلوی پایه تا ۵۵ درصد کاهش می‌یابد.

Lança et al. (2013) آزمایش‌هایی برای مشاهده اثر فاصله بین پایه‌ها در گروه پایه و تعداد گروه پایه‌ها انجام دادند. نتایج آن‌ها حاکی از آن بود که در حفره‌های آبشنستگی حاصل از آبشنستگی در پایه‌ها، باهم ادغام می‌شوند و یک حفره آبشنستگی بزرگتر برای گروه پایه ایجاد می‌کنند؛ اما از و پیش‌تر از آن، حفره‌های آبشنستگی برای هر پایه واقع در گروه پایه، تمایل به جدا شدن از هم دارند و به صورت مجزا تشکیل می‌شوند.

همان‌گونه که پیش‌تر نیز بیان گردید تاکنون پژوهش‌های متنوعی در زمینه آبشنستگی پایه‌های پل صورت گرفته است؛ که بیشتر آن‌ها تحلیل این پدیده حول یک پایه بوده است. بنابراین در این مقاله ضمن بررسی پدیده آبشنستگی در گروه پایه‌های پل، به تحلیل اثر راستای گروه پایه نسبت به راستای جریان و زاویه تشکیل شده بین این دو راستا بر میزان حداکثر آبشنستگی حول گروه پایه‌ها پرداخته خواهد شد؛ که نوآوری این تحقیق محسوب می‌شود.

مواد و روش‌ها

تحلیل ابعادی

برای شرایط آب زلال حداکثر عمق آبشنستگی (d_s) در گروه پایه‌های پل تابع عوامل زیر است:

$$f(d_s, y, B, D_p, D_{50}, V, g, \rho, \theta, t, K_\varphi, S, G, m, n, C_D, \sigma) = 0 \quad (1)$$

که در این رابطه d_s : عمق آبشنستگی، y : عمق جریان، B : عرض کanal، D_p : قطر پایه پل، D_{50} : قطر متوسط رسوبات بستر، S : فاصله مرکز به مرکز پایه‌ها در هر گروه پایه، G : فاصله گروه پایه‌ها از هم، V : سرعت جریان، شتاب ثقل، ρ : جرم واحد حجم آب، ρ_s : جرم واحد حجم رسوبات، θ : لزجت سینماتیکی سیال، t : زمان، θ : زاویه گروه پایه نسبت به جهت جریان، K_φ : ضریب زاویه برخورد آب به سطح پایه، m : تعداد پایه‌ها در هر گروه پایه، n : تعداد گروه پایه‌ها، C_D : ضریب شکل پایه، σ : انحراف میار ذرات رسوبی

آبشنستگی در گروه پایه‌ها را تحت تأثیر قرار می‌دهند. در ادامه به چند نمونه از کارهای صورت پذیرفته توسط محقق‌های مختلف که بررسی آبشنستگی در گروه پایه پل پرداختند، به طور مختصر اشاره می‌گردد:

Heidarpour et al. (2007) نتایج آزمایش‌های خود را که در کنترل آبشنستگی موضعی در شرایط آب زلال برای گروه پایه‌های دو و سه‌تایی استوانه‌ای واقع در امتداد یک خط مورد بررسی قرار گرفت، بدین منوال ارائه دادند که عملکرد شکاف برای پایه‌های عقبی گروه پایه‌های دو و سه‌تایی با فاصله (S) چهار برابر قطر پایه (D_p)، بیشتر از پایه‌های جلویی و تک پایه می‌باشد، همچنین عملکرد شکاف در گروه پایه‌های دو و سه‌تایی با فاصله دو برابر قطر پایه‌ها، برای کلیه پایه‌ها یکسان و برای تک پایه می‌باشد و با افزایش فاصله بین پایه‌ها در گروه پایه‌های دو و سه‌تایی عملکرد شکاف در پایه جلویی به علت کاهش عامل تقویت کننده و در پایه‌های عقبی به علت کاهش تأثیر گرداب‌های جاری افزایش می‌یابد.

Nazariha (1996) فرایند آبشنستگی را در گروه پایه‌های استوانه‌ای دو، سه، چهار و شش تایی مورد بررسی قرار داد. نتایج مربوط به آبشنستگی در گروه پایه‌های دوتایی نشان می‌دهد که تأثیر عامل تقویت کننده در $S/D_p = 4$ حداکثر بوده و باعث ۱۰ درصد افزایش در عمق آبشنستگی پایه جلویی نسبت به تک پایه شده و با تغییر فاصله این عامل کاهش پیدا کرده است. وی اثر زاویه برخورد جریان در گروه پایه سه‌تایی مورد بررسی قرار داد و به این نتیجه رسید که با افزایش زاویه، حداکثر عمق آبشنستگی در پایه میانی در ۵۰ درجه مشاهده شد.

نتایج آزمایش‌های Taghizadeh و Mousavi Jahromi (2006) نشان داد که استفاده از تعداد پایه‌های بیشتر با پهنای کمتر نسبت به تعداد پایه‌های کمتر با پهنای بیشتر، باعث کاهش عمق آبشنستگی موضعی می‌شود و هزینه‌های احداث پل را در برخی موارد کاهش می‌دهد.

Ataei Ashtiyani و Beheshti (2004) اثر فاصله بین پایه‌ها بر حداکثر عمق آبشنستگی در بالادست گروه پایه‌ها را بررسی کرده و برای گروه پایه مطالعه شده، عمق آبشنستگی نسبی به پارامترهای بدون بعد، نسبت عمق جریان به قطر پایه، نسبت فاصله بین پایه‌ها به قطر پایه و عدد فرود بستگی دارد.

Azhari et al. (2012) اثر زاویه قوس کanal و فاصله بین پایه‌ها را در گروه پایه‌ها مورد بررسی قرار دادند و دریافتند که با افزایش زاویه و فاصله بین پایه‌ها آبشنستگی در قوس کanal افزایش می‌یابد. Zhao و Sheppard (1999) اثر زاویه برخورد جریان با گروه پایه‌ها بر عمق آبشنستگی را بررسی کردند. آن‌ها آزمایش‌هایی برای دو نوع پایه استوانه‌ای و مکعبی در شرایط آب زلال و $S/D_p = 3$ تقدیر می‌کنند. طبق مشاهدات آن‌ها برای گروه پایه‌های استوانه‌ای

به منظور حذف تلاطم جریان ورودی از یک توری مشبک بالا فاصله پس از مخزن آرام‌کننده ورودی استفاده شده است. یک دریچه کشویی به منظور کنترل و تنظیم سطح آب در انتهای پائین دست این کanal طراحی گردیده است که از طریق آن امکان برگشت آب به مخزن و زهکشی یا چرخش در سیستم وجود دارد. در شکل (۱) نمایی از کanal و تجهیزات آزمایشگاهی نشان داده شده است.

برای یکنواخت تلقی کردن ذرات رسوبی مورد استفاده مطابق پیشنهاد (Chiew and Melville, 1987) میزان انحراف معیار

هندسی ذرات ($D_{\text{mean}} = \sqrt{\frac{D_{84.1}}{D_{15.9}}} (\sigma)$) باید از $1/3$ کمتر باشد که با توجه به این معیار، میزان انحراف معیار هندسی ذرات رسوبی استفاده شده در آزمایش‌ها برابر $1/3$ می‌باشد. با توجه به شرایط ذکر شده بازه‌ای از فلوم به طول تقریبی دو متر، به خصامت $1/10$ متر با رسوبات ماسه ریز با دانه‌بندی یکنواخت و قطر متوسط 0.0005 متر پوشیده شد. در این تحقیق با هدف بررسی اثر زاویه گروه پایه‌های استوانه‌ای پل نسبت به جهت جریان روی حداکثر عمق آبستنگی گروه پایه‌ها، قاب شیشه‌ای در بالای کanal آزمایشگاهی مستقر شده است که نقش عرضه پل را ایفا می‌کند و با زاویه (θ) نسبت به حالت عمود بر جریان در کanal قرار می‌گیرد، به دنبال آن نوارهای شیشه‌ای واقع در زیر عرضه پل قرار دارند که با پیچ و مهره به عرضه متصل گردیده‌اند و گروه پایه‌های پل روی آن‌ها نصب شده است به طوری که راستای گروه پایه‌ها عمود بر راستای عرضه پل می‌باشد و با جهت جریان زاویه θ می‌سازد. قطر پایه‌های پل (D_p) به کار رفته در آزمایش‌ها 25 میلی‌متر می‌باشد که از جنس PVC ساخته شده‌اند. آرایش پایه‌ها بدین گونه می‌باشد که پایه‌ها در سه گروه پایه‌ی سه‌تایی قرار دارند، به طوری که در هر گروه پایه، سه پایه پل قرار می‌گیرد و فاصله مرکز به مرکز این پایه‌ها (S)، 10 سانتی‌متر (معادل چهار برابر قطر پایه) می‌باشد. همچنین فاصله گروه پایه‌ها از هم (G)، $18/5$ سانتی‌متر (معادل $7/4$ برابر قطر پایه) منظور شد. شایان ذکر است فاصله مرکز به مرکز پایه‌ها در هر گروه پایه نسبت به قطر پایه (S/D_p) مطابق با اندازه این نسبت در گروه پایه‌های پل‌های پنج‌م و نادری واقع بر رودخانه کارون در محدوده شهر اهواز انتخاب گردیده است که این نسبت برابر با چهار می‌باشد. همچنین مدل پایه‌های مورد نظر به منظور شکل گیری جریانی کاملاً متلاطم و توسعه یافته در فاصله 100 سانتی‌متری از ابتدای بستر رسوبی نصب گردید. شکل (۲) آرایش گروه پایه‌های پل در آزمایشگاه را نشان می‌دهند. در تمامی آزمایش‌های انجام شده مبنای مقایسه‌ها و تحلیل‌ها، مقدار آبستنگی در گروه پایه وسط می‌باشد و به دلیل اینکه دیواره‌های کanal آزمایشگاهی و تنگ‌شدنی مقطع کanal بر مکانیزم آبستنگی در گروه پایه‌های کناری اثر می‌گذارد، از تحلیل نتایج حاصل از گروه پایه‌های کناری صرف نظر شد. همچنین لازم به توضیح است که فلسه وجود دو گروه پایه پل

می‌باشد. با استفاده از روش باکینگهام رابطه بدون بعد بین پارامترهای فوق (۱) به دست آورده و با ترکیب پارامترهای بی بعد به دست آمده رابطه (۲) به دست آمد:

$$\frac{d_s}{D_p} = f(F_r, R_e, \frac{B}{D_p}, \frac{S}{D_p}, \frac{G}{D_p}, \frac{D_{50}}{D_p}, \theta, m, n, K_\varphi, G_s, C_D, \sigma, t) \quad (2)$$

برای حذف پارامتر زمان از آزمایش‌های صورت پذیرفته و انجام آن‌ها در شرایط جریان پایدار، زمان تمامی آزمایش‌ها ثابت و برابر زمان تعادل بستر (240 دقیقه) در نظر گرفته شد، به همین دلیل پارامتر زمان از آزمایش‌ها حذف گردید. همچنین برای انجام آزمایش‌ها، از پایه‌هایی با مقطع دایره‌ای و از جنس PVC استفاده شد، به همین دلیل مقدار C_D نیز ثابت می‌باشد. با توجه به اینکه عدد رینالدز در محدوده انجام آزمایش‌های صورت پذیرفته بیشتر از 2000 می‌باشد، بنابراین جریان در محدوده‌ی آشفته بوده و می‌توان از آن صرف‌نظر کرد (Chiew and Melville, 1999). از طرفی پایه‌های به کار رفته در آزمایش‌ها استوانه‌ای شکل بودند، لذا از اثر ضربی زاویه‌ی برخورد سیال به سطح پایه (K_φ)، صرف‌نظر شد (لارسون و تاج، ۱۹۵۶). همچنین متغیر انحراف معیار هندسی ذرات رسوب (σ)، چگالی نسبی ذرات رسوبی ($G_s = \rho_s / \rho$)، مقداری ثابت داشته و حذف شدند. متغیرهای عرض کanal (B ، قطر پایه‌ها (D_p)، قطر متوسط رسوبات بستر (D_{50})، فاصله مرکز به مرکز پایه‌ها در هر گروه پایه (S)، فاصله گروه پایه‌ها از هم (G) نیز ثابت بودند، بنابراین نسبت‌های B/D_p ، G/D_p ، S/D_p ، D_{50}/D_p از رابطه کنار گذاشته شدند. درنهایت نیز با توجه به ثابت بودن تعداد پایه در هر گروه پایه (m) و تعداد گروه پایه‌ها (n)، رابطه‌ی بدون بعد به صورت زیر قابل ارائه می‌باشد:

$$\frac{d_s}{D_p} = f(F_r, \theta) \quad (3)$$

امکانات آزمایشگاه و روش انجام آزمایش

آزمایش‌های این تحقیق در کanal آزمایشگاهی به طول شش متر، عرض $7/3$ متر و ارتفاع $0/6$ متر با شبیب طولی نزدیک به صفر در آزمایشگاه مدل‌های فیزیکی و هیدرولوژیکی دانشکده مهندسی آب و محیط زیست دانشگاه شهید چمران اهواز صورت پذیرفته است. دیواره‌های کanal از جنس شیشه‌ی سیکوریت با ضخامت 10 میلی‌متر و کف آن از جنس آهن بود. کanal در قسمت ابتدایی و انتهایی دارای مخزن آرام‌کننده است. برای اندازه‌گیری دبی از یک فلومتر نصب شده در ابتدای کanal استفاده شد. آب مورد نیاز به وسیله‌ی یک پمپ با حداکثر دبی 26 لیتر بر ثانیه از مخزن اصلی به کanal منتقل می‌شد و

پایه‌های پل با جهت جریان در کanal)، در شرایط آب زلال با اعداد فرود ۰/۱۵، ۰/۱۷ و ۰/۰ انجام گردید.

کناری، مشاهده اثر آن‌ها بر حداکثر عمق آبیستگی گروه پایه وسط می‌باشد. آزمایش‌ها در زاویه‌های صفر، $\pi/۹$ ، $\pi/۱۸$ و $\pi/۶$ رادیان که عرضه پل با راستای عمود بر جریان در کanal ایجاد می‌کند (گروه

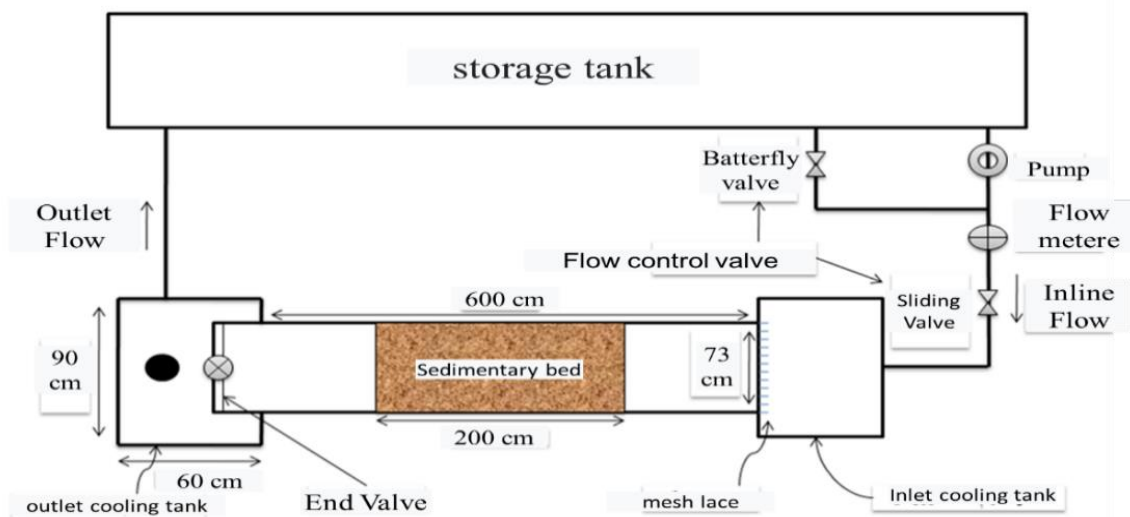
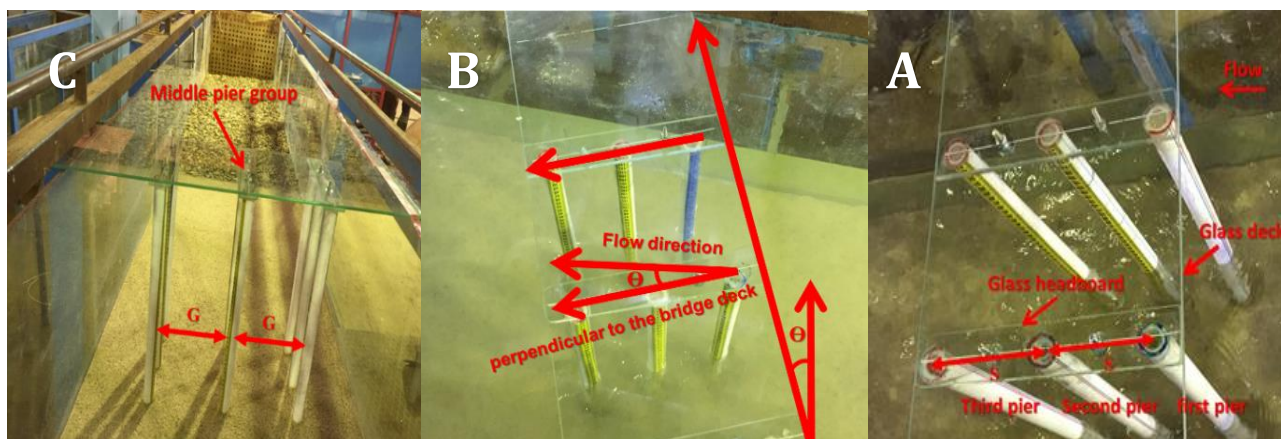


Fig. 1- Channel plan and laboratory equipment

شکل ۱- پلان کanal و تجهیزات آزمایشگاهی



شکل ۲- A-Showing the length distance between bridge pier in each pier group. B- Showing the group of bridge pier with an angle (Θ) relative to the flow direction. C- Showing all groups of bridge pier and the transverse distance between the groups of pier

شکل ۲- الف-نمایش فاصله طولی بین پایه‌های پل در هر گروه پایه- ب- نمایش گروه پایه‌های پل با زاویه (θ) نسبت به جهت جریان- ج- نمایش هر سه گروه پایه پل و فاصله عرضی بین گروه پایه‌ها

کند، دریچه را به آهستگی گشوده تا اینکه دبی و ارتفاع آب درون کانال در مقدار مورد نظر تنظیم گردد. عمق جریان در کانال با استفاده از خطکش نصب شده در جداره کانال با دقت $\pm 1mm$ اندازه‌گیری شد. پس از برقراری جریان در طول مدت زمان آزمایش‌ها، پمپ خاموش می‌شد و پس از گذشت مدت زمان کوتاهی آب موجود در کانال به آرامی زهکشی می‌شد تا توپوگرافی بستر تغییر نکند و در نهایت به وسیله عمق سنج لیزری از روی شیشه‌ای که با متر پارچه‌ای مدرج شده بود، توپوگرافی بستر در اطراف گروه پایه‌ها در یک شبکه 1×1 سانتی‌متری برداشت گردید. در این بخش ۱۲ آزمایش برای حالتی که عرضه پل نسبت به حالت عمود بر جریان زاویه (θ) می‌سازد، در سرعت‌های نسبی $(V/V_c) = 0.92, 0.82, 0.72$ به ترتیب، متناظر با اعداد فرود بالا درست $0.17, 0.15, 0.13$ در شرایط آب زلال انجام گرفت. نتایج آزمایش‌ها در جدول (۲) آورده شده است.

نتایج و بحث

۱. بررسی تأثیر عدد فرود جریان بر حداقل عمق آبستگی گروه پایه وسط

با افزایش سرعت نسبی جریان، حفره‌های عمیق‌تر و وسیع‌تری ناشی از فعالیت جریان‌های گردابی در اطراف گروه پایه‌ها تشکیل می‌شود. به طور کلی با افزایش عدد فرود جریان و در نتیجه افزایش قدرت جریان‌های گردابه‌ای، عمق حفره‌های آبستگی و همچنین توسعه‌ی طولی و عرضی حفره‌های آبستگی افزایش پیدا می‌کند. در شکل (۴) تأثیر عدد فرود جریان بر تغییرات بی‌بعد حداقل عمق آبستگی به قطر پایه در تمام زوايا (θ) مشهود است. نمودارهای ارائه شده در شکل (۵) توسعه‌ی طولی حفره‌های آبستگی پیرامون گروه پایه وسط را در زوايا (θ) برابر با $\pi/18$ ، $\pi/9$ ، $\pi/6$ را ایان در اعداد فرود $0.13, 0.15, 0.17, 0.1$ نشان می‌دهد. توسعه‌ی طولی حفره‌ها بیان‌گر این است که در تمامی زاویه‌ها با افزایش شدت جریان حفره‌های آبستگی پیرامون گروه پایه توسعه بیشتری یافته و حداقل عمق آبستگی در اطراف پایه‌ها افزایش می‌یابد.

Chiew و Melville (1999) عنوان کردند برای تعیین عمق جریان، حداقل تنفس برشی باید در شرایط آب زلال تعیین گردد. زمانی که سرعت جریان در محدوده $V_c < V < 0.3V_c$ باشد آبستگی در شرایط آب زلال رخ می‌دهد و اگر سرعت متوسط جریان (V) بیشتر از سرعت آستانه حرکت (V_c) باشد آبستگی در شرایط بستر زنده صورت می‌پذیرد. در آزمایش‌های این تحقیق، آبستگی در شرایط آب زلال انجام پذیرفته است. با توجه به موارد فوق، برای تعیین سرعت آستانه حرکت ذرات رسوی، در کanal آزمایشگاهی روی بستر رسوی و بدون حضور پایه، عمق‌های متفاوتی با تنظیم حداقل دبی ۲۶ لیتر بر ثانیه اندازه‌گیری شد تا بتوان حرکت یا عدم حرکت رسوی‌های بستر را با چشم مشاهده نمود. لذا با ثابت نگه داشتن دبی و با کاهش تدریجی عمق جریان و مشاهده حرکت مجموعه ای از ذرات V_c تعیین گردید. پس از اندازه‌گیری‌های صورت پذیرفته در نهایت، مقدار سرعت متوسط جریان برای آستانه حرکت رسویات 0.74 متر بر ثانیه تعیین گردید. جدول (۱) شرایط جریان حاکم بر آزمایش‌ها را نشان می‌دهد. پذیرده آبستگی در اطراف پایه پل‌ها، فرآیندی است که با گذشت زمان توسعه یافته و در نهایت به تعادل می‌رسد. شناخت این فرآیند و تخمین عمق آبستگی در طی زمان و به خصوص در زمان رسیدن حفره آبستگی به حالت تعادل برای طراح پل حائز اهمیت می‌باشد. از این رو، به منظور تعیین زمان مناسب برای انجام آزمایش‌ها، یک آزمایش 360 دقیقه‌ای با دبی 26 لیتر بر ثانیه (سرعت نسبی: $V/V_c = 0.92$) برای گروه پایه‌های پل انجام گرفت و زمان تعادل بر اساس تغییرات ناچیز حفره‌های آبستگی نسبت به زمان بدست آمد. شکل (۳) منحنی توسعه‌ی زمانی حفره‌های آبستگی برای گروه پایه وسط نشان داده شده است که با توجه به آن زمان انجام آزمایش‌ها 240 دقیقه در نظر گرفته شد.

در شروع هر آزمایش دریچه کشویی در انتهای مجرای کanal به طور کامل بسته شده و آب به آرامی به درون کanal هدایت شد تا از ایجاد فرسایش اولیه در سطح بستر و ایجاد خطا در آزمایش جلوگیری به عمل آید. پس از بالا آمدن سطح آب، به طوریکه در حدود یک سانتی‌متر از سطح رسوی‌های بستر را می‌پوشاند، پمپ با دبی حداقل راه اندازی و جریان ورودی با سرعت بسیار کم وارد کanal می‌گردد تا سطح آب همچنان بالا بیاید. پیش از آنکه آب از روی دریچه ریزش

جدول ۱- شرایط هیدرولیکی حاکم بر آزمایش‌ها

Table 1- Hydraulic conditions governing the experiments

V/V_c	Fr	Re	$V(m/s)$	$A(m^2)$	$B(m)$	$y(m)$	$Q(m^3/s)$	Row
0/92	0/17	35200	0/22	0/116	0/73	0/16	0/026	1
0/82	0/15	31360	0/19	0/116	0/73	0/16	0/023	2
0/72	0/13	27360	0/17	0/116	0/73	0/16	0/02	3

* V/V_c : Relative Flow Velocity

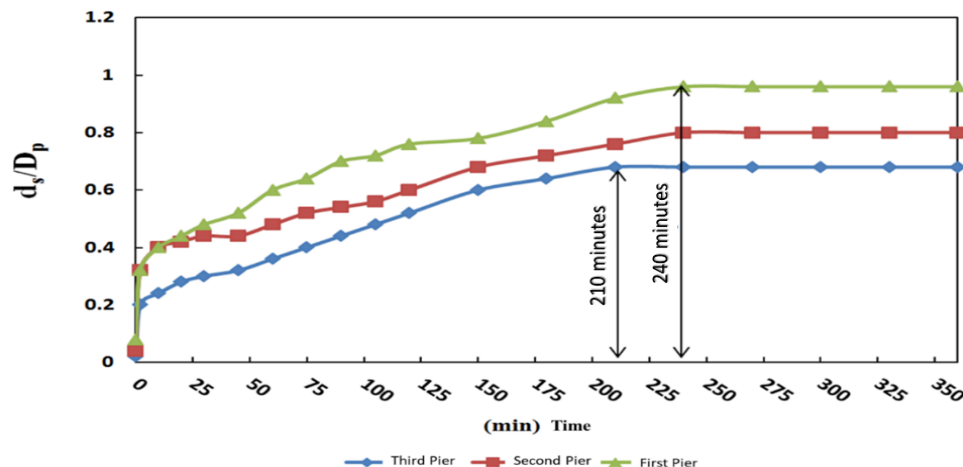


Fig. 3- The time development curve of scour holes around the middle base group by different bases in Froude number 0.17

شکل ۳- منحنی توسعه‌ی زمانی حفره‌های آبستنگی پیرامون گروه پایه وسط به تفکیک پایه‌ها در عدد فرود ۰/۱۷

Table 2- Dimensionless changes of the maximum scour depth to the diameter of the bridge pier (d_s/D_p) in constant hydraulic conditions

جدول ۲- تغییرات بی بعد حداکثر عمق آبستنگی به قطر پایه پل (d_s/D_p) در شرایط هیدرولیکی ثابت

Froude number	The ratio of the maximum scour depth to the pier diameter (d_s/D_p)			
	$\theta = 0$	$\theta = \frac{\pi}{18}$	$\theta = \frac{\pi}{9}$	$\theta = \frac{\pi}{6}$
Fr				
0/13	0/76	0/84	0/88	1/04
0/15	0/84	0/88	0/96	1/08
0/17	0/96	1	1/04	1/2

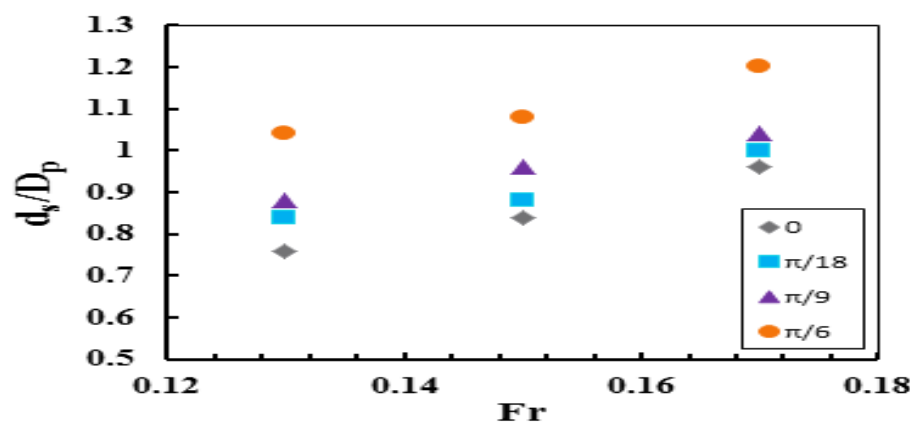


Fig. 4- The influence of the flow descent number on the dimensionless changes of the maximum scour depth to the base diameter

شکل ۴- تأثیر عدد فرود جریان بر تغییرات بی بعد حداکثر عمق آبستنگی به قطر پایه

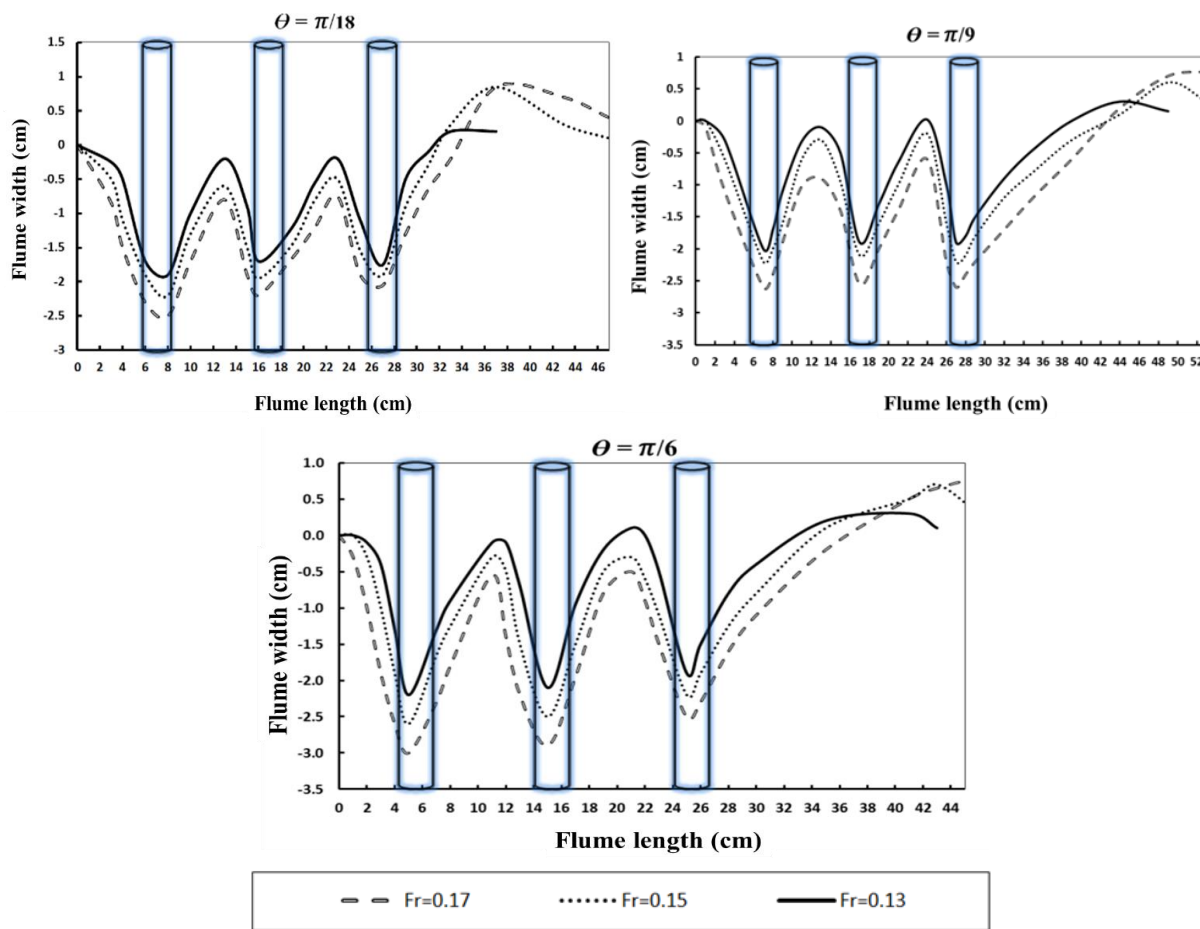


Fig. 5- The influence of the descent number of the flow and angle change on the longitudinal development of scour holes in centimeters

شکل ۵- تأثیر عدد فرود جریان و تغییر زاویه در توسعه‌ی طولی حفره‌های آبشستگی بر حسب سانتی‌متر

شده از پایه اول و در نتیجه کاهش اثر محافظت‌کننده، جریان با تلاطم بیشتری در اطراف آن شکل می‌گیرد و افزایش عمق آبشستگی را در پی دارد. شکل (۶) اثر تغییر زاویه گروه پایه‌های پل نسبت به جهت جریان بر حداکثر عمق آبشستگی را در اعداد فرود $0/13$ ، $0/15$ ، $0/17$ و $0/18$ برای گروه پایه وسط نشان می‌دهد. بررسی پروفیل طولی حفره‌های آبشستگی ایجاد شده از پایه اول تا پایه سوم واقع در گروه پایه وسط نشان داد که در زوایای $\pi/18$ ، $\pi/9$ ، $\pi/6$ و $\pi/13$ رادیان، با افزایش زاویه (θ)، حداکثر عمق آبشستگی در تمامی پایه‌های واقع در گروه پایه وسط افزایش می‌یابد. نکته قابل توجه این که در تمام زوایای گروه پایه‌ها با جهت جریان، در گروه پایه وسط، عمق آبشستگی در تمام مدت آزمایش در پایه دوم کمتر از پایه اول و در پایه سوم کمتر از پایه دوم می‌باشد؛ بنابراین در تمامی زوایا، شاهد روند کاهشی حداکثر عمق آبشستگی از پایه‌های جلویی در بالادست به سمت پایه‌های عقبی می‌باشیم. در واقع با افزایش زاویه گروه پایه‌ها نسبت به جهت جریان

بررسی تأثیر زاویه‌ی گروه پایه‌های پل نسبت به جهت جریان بر حداکثر عمق آبشستگی

با توجه به شکل (۶) که تأثیر تغییر در زاویه گروه پایه‌های پل نسبت به جهت جریان روی حداکثر عمق آبشستگی موضعی اطراف گروه پایه‌ها در عدد فرود ثابت جریان نشان می‌دهد، افزایش زاویه گروه پایه‌های پل نسبت به جهت جریان از صفر تا $\pi/6$ رادیان، باعث افزایش حداکثر عمق آبشستگی در گروه پایه وسط واقع در مرکز کanal می‌شود. به طوری که با افزایش زاویه (θ) از اثر حفاظتی پایه‌های جلویی بر پایه‌های عقبی کاسته می‌شود و سبب می‌شود تا عمق آبشستگی در پایه‌های عقبی افزایش یابد، همچنین افزایش زاویه گروه پایه‌ها نسبت به جهت جریان، سبب کانالیزه شدن خطوط جریان می‌گردد و در نتیجه مانند دیواره بیرونی قوس کanal عمل نموده و آبشستگی در اطراف گروه پایه وسط خصوصاً پایه جلویی (اول) افزایش می‌یابد. در پایه دوم از گروه پایه نیز به علت گرداب‌های جاری

تفکیک پایه‌ها در گروه پایه وسط در اعداد فرود $0/13$, $0/15$ و $0/17$ نشان می‌دهد. شکل (۷) درصد افزایش حداکثر عمق آبشنستگی نسبت به شرایط شاهد (زاویه صفر رادیان)، با تغییر در زاویه گروه پایه‌های پل را نشان می‌دهد.

شکل (۸) تأثیر زاویه گروه پایه‌های پل نسبت به جهت جریان بر حداکثر عمق آبشنستگی به تفکیک پایه‌ها در گروه پایه وسط در اعداد فرود $0/13$, $0/15$ و $0/17$ نشان می‌دهد.

از صفر تا $\pi/6$ رادیان، بدلیل دور شدن پایه‌های عقبی از منطقه کم فشار ایجاد شده توسط پایه‌های جلویی و در نتیجه کاهش اثر عامل حفاظتی، روند کاهشی حداکثر عمق آبشنستگی از پایه‌های جلویی به پایه‌های عقبی، شدت کمتری پیدا می‌کند، به طوری که در زوابایی و حداکثر عمق آبشنستگی در پایه‌های دوم و سوم بسیار نزدیک به حداکثر عمق آبشنستگی در پایه اول می‌باشد. شکل (۷) تأثیر زاویه گروه پایه‌های پل نسبت به جهت جریان بر حداکثر عمق آبشنستگی به

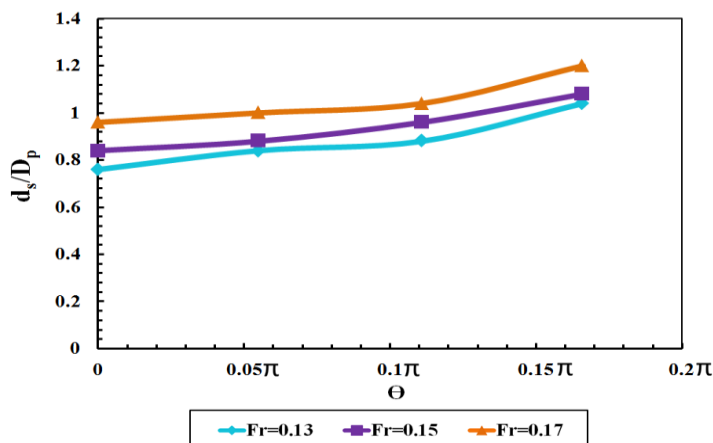


Fig. 6- The effect of the angle of the foundation group with respect to the flow on the dimensionless changes of the maximum scour depth to the base diameter in the middle base group

شکل ۶- اثر زاویه گروه پایه‌ها نسبت به جریان بر تغییرات بی بعد حداکثر عمق آبشنستگی به قطر پایه در گروه پایه وسط

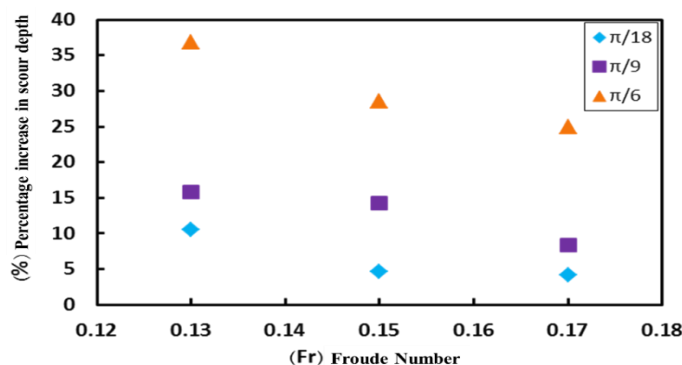


Fig. 7- The percentage increase of the maximum scour depth compared to the control condition (zero radian angle) in the middle base group

شکل ۷- درصد افزایش حداکثر عمق آبشنستگی نسبت به شرایط شاهد (زاویه صفر رادیان) در گروه پایه وسط

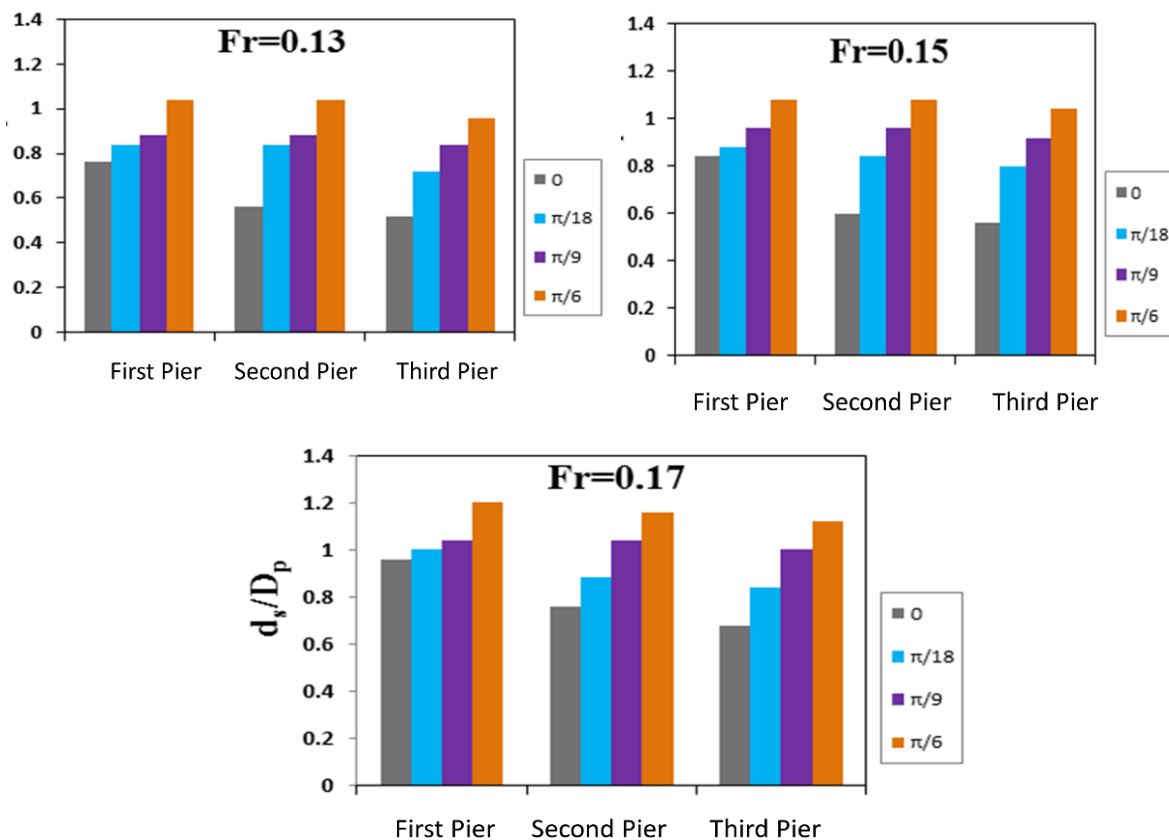


Fig. 8- The effect of the angle of the group of bridge piers in relation to the flow direction on the maximum dimensionless scour depth by piers

شکل ۸- اثر زاویه گروه پایه های پل نسبت به جهت جریان بر حداقل عمق بی بعد آبستگی به تفکیک پایه ها

آبستگی افزایش یافته و حفره های آبستگی اطراف گروه پایه ها توسعه بیشتری داشته است. همچنین با افزایش زاویه گروه پایه ها با جهت جریان، تپه رسوبی حاصل از آبستگی از جلوی گروه پایه ها به کنار گروه پایه ها انتقال پیدا می کند.

شکل های شکل های (۹) الی (۱۲)، الگوی دو بعدی و سه بعدی توسعه حفره های آبستگی پیرامون گروه پایه های پل در زوایای $\pi/6$ ، $\pi/9$ ، $\pi/18$ رادیان را در عدد فرود 13° نشان می دهد، با افزایش زاویه گروه پایه ها نسبت به جهت جریان، حداقل عمق

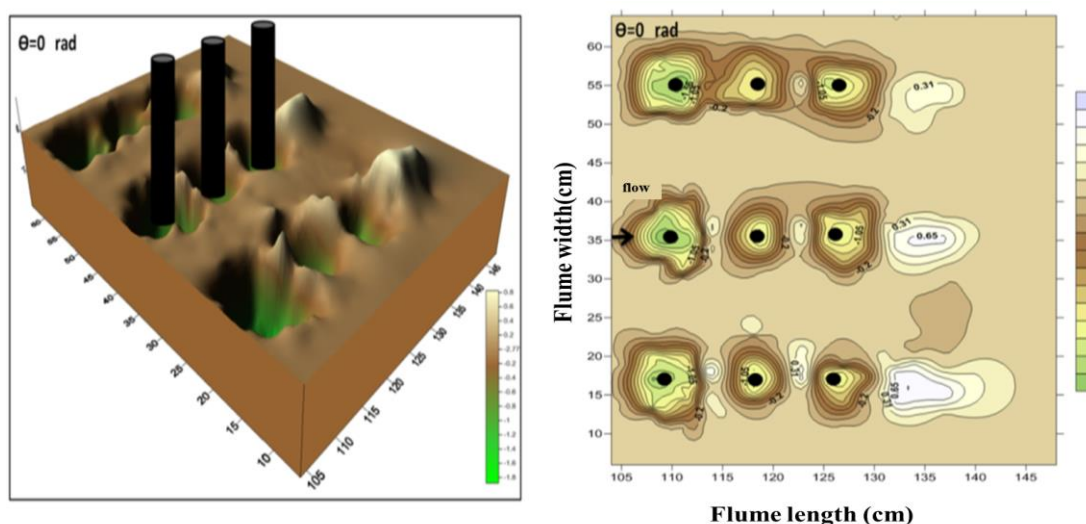


Fig. 9- Two-dimensional and three-dimensional pattern of scour development around the foundation group in centimeters ($Fr = 0.13$)

شکل ۹- الگوی دوبعدی و سه بعدی توسعه‌ی آبشتگی پیرامون گروه پایه‌ها بر حسب سانتی‌متر ($Fr = 0.13$)

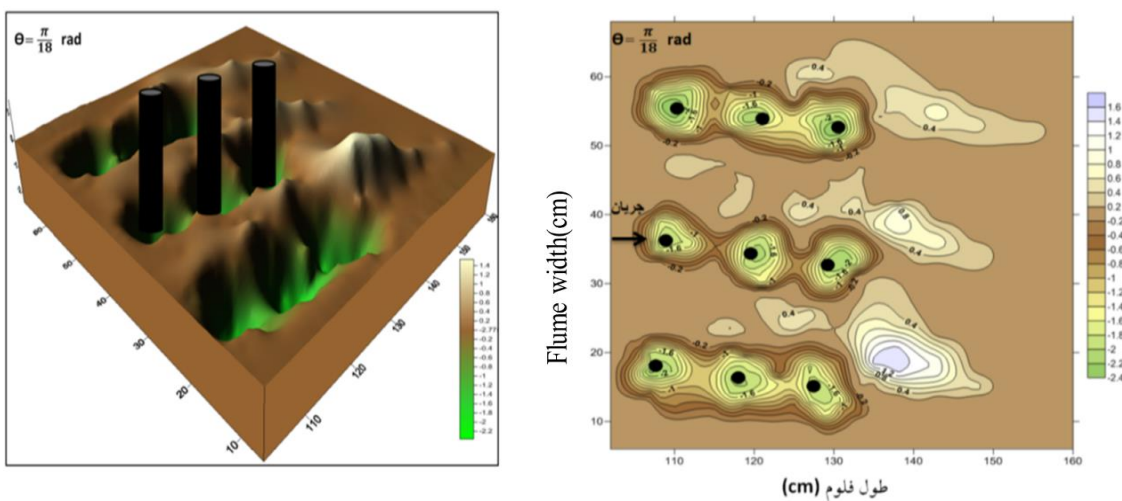


Fig. 10- The two-dimensional and three-dimensional pattern of scour development around the foundation group in centimeters ($Fr = 0.13$)

شکل ۱۰- الگوی دوبعدی و سه بعدی توسعه‌ی آبشتگی پیرامون گروه پایه‌ها بر حسب سانتی‌متر ($Fr = 0.13$)

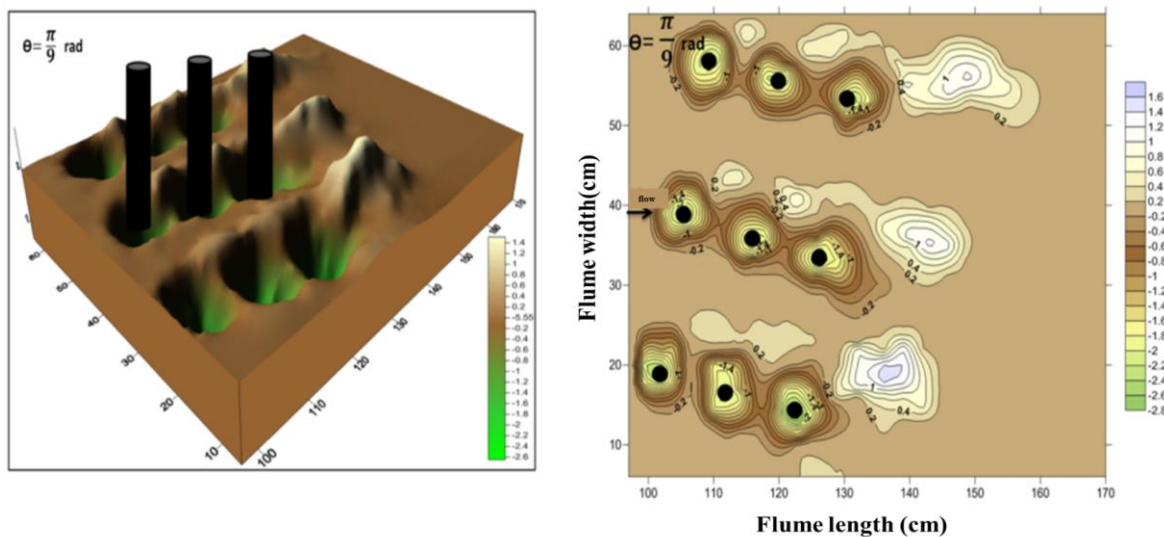


Fig. 11- Two-dimensional and three-dimensional pattern of scour development around the foundation group in centimeters ($Fr = 0.13$)

شکل ۱۱- الگوی دوبعدی و سه بعدی توسعه‌ی آبشنستگی پیوامون گروه پایه‌ها بر حسب سانتی‌متر ($Fr = 0.13$)

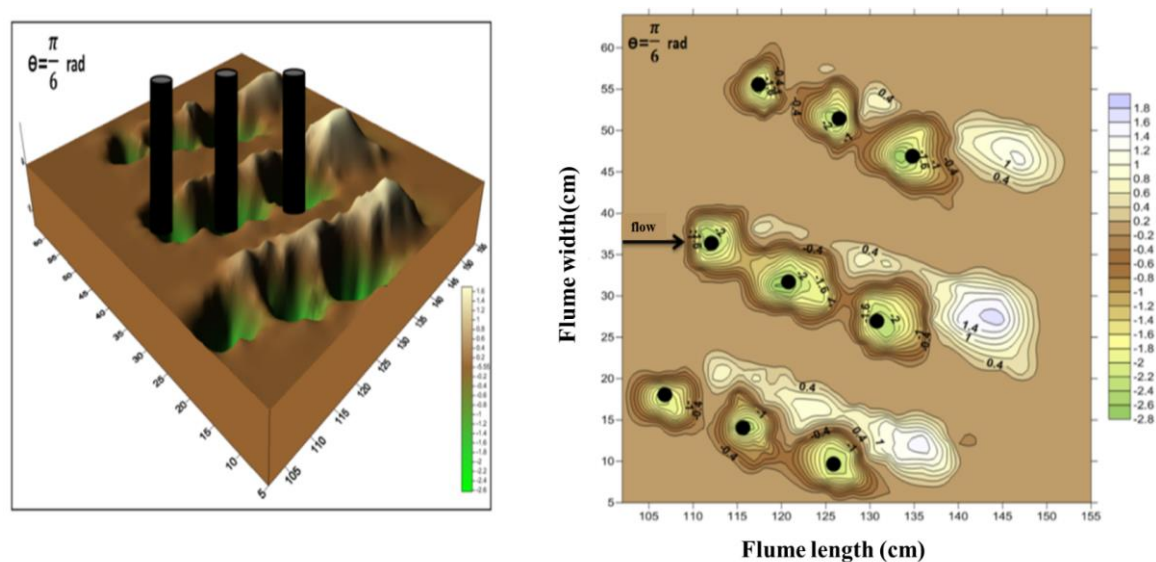


Fig. 12- The two-dimensional and three-dimensional pattern of scour development around the foundation group in centimeters ($Fr = 0.13$)

شکل ۱۲- الگوی دوبعدی و سه بعدی توسعه‌ی آبشنستگی پیوامون گروه پایه‌ها بر حسب سانتی‌متر ($Fr = 0.13$)

شسته می‌شوند، اما به مرور زمان با توسعه‌ی حفره‌های آبشنستگی نرخ آبشنستگی کند می‌گردد.

- همچنین مشاهده شد، در گروه پایه وسط زمان رسیدن به حالت تعادل برای پایه عقبی (پایه سوم) کوتاه‌تر است و پایه‌های جلویی (پایه

نتیجه‌گیری

- در طول آزمایش‌ها مشخص شد که اغلب ذرات بستر پیوامون گروه پایه‌های پل در ساعت‌های اولیه به دلیل سرعت بالای آبشنستگی

عقبی، حداکثر عمق آبستنگی در هر پایه کاهش می‌یابد، این روند کاهشی با افزایش زاویه گروه پایه‌های پل نسبت به جریان، به دلیل کاهش اثر محافظت کننده پایه‌های جلویی بر پایه‌های عقبی، شدت کمتری پیدا می‌کند به طوری که در زوایای $\pi/9$ و $\pi/6$ رادیان حداکثر عمق آبستنگی در پایه‌های اول و دوم و سوم بسیار نزدیک به هم می‌باشد و اختلاف جداکثر عمق آبستنگی پیرامون پایه‌های اول و دوم و سوم کمتر از 10° درصد می‌باشد.

سپاسگزاری

این مقاله از نتایج پایان‌نامه کارشناسی ارشد نویسنده اول و با حمایت واحد پژوهشی دانشگاه از طریق پژوهانه نویسنده دوم (SCU.WH. 98.86) تهیه شده که بدبینو سیله نویسندهان از معاونت پژوهشی دانشگاه شهید چمران اهواز تشكیر و قدردانی می‌کنند. ضمناً از حمایت معنوی قطب علمی "بهسازی و نگهداری شبکه‌های آبیاری و زهکشی" تشكیر و قدردانی می‌گردد.

اول و دوم) با گذشت مدت زمان طولانی تری به حالت تعادل آبستنگی می‌رسند.

-۳- بررسی‌ها نشان داد الگوی آبستنگی و جداکثر عمق آبستنگی کاملاً متأثر از شرایط جریان است. به عبارتی تحت شرایط آب زلال، در تمامی زوایای گروه پایه‌های استوانه‌ای پل نسبت به جهت جریان، ضمن توسعه‌ی آبستنگی، جداکثر عمق آبستنگی پیرامون گروه پایه وسط (واقع در مرکز کاتال) افزایش می‌یابد و بیشترین افزایش آن با تغییر در شدت جریان از عدد فرود $1/13$ به $1/17$ در زاویه صفر رادیان مشاهده می‌شود که برابر است با $26/3$ درصد.

-۴- همچنین مشاهده شد در عدد فرود ثابت، با افزایش زاویه گروه پایه‌های پل نسبت به جهت جریان، جداکثر عمق آبستنگی در گروه پایه وسط افزایش می‌یابد به طوری که جداکثر مقدار عمق آبستنگی در زاویه $\pi/6$ رادیان (بیشترین زاویه مورد آزمایش) در فرود $1/17$ مشاهده شد.

-۵- در گروه پایه وسط هر چه از پایه‌های جلویی به سمت پایه‌های عقبی پیش برویم، به دلیل اثر حفاظتی پایه‌های جلویی بر پایه‌های

References

- 1- Azhari, A., Taghipour, R., and Alizadeh, M, 2012. Local scouring around the foundation group of the bridge: investigation of the effect of the arch angle of the channel and the distance between the foundations. *The 11th Iranian Hydraulic Conference*, Urmia University. (In Persian).
- 2- Beheshti, E., Ataei Ashtiani, B., 2004. Scouring in clear water conditions around the base group. *Second National Congress of Civil Engineering*, Sharif University of Technology, Tehran.
- 3- Chiew, Y.M. and Melville, B.W., 1987. Local scour around bridge piers. *Journal of Hydraulic Research*, 25(1), pp.15-26.
- 4- Hannah, C.R. 1978. Scour at pile groups. Research Rep. No. 78-3, Civil Engineering, Univ. of Canterbury, New Zealand.
- 5- Heidarpour, M., Afzali Mehr, H. and Khoda Rahmi, Z, 2007. Local scour protection of circular bridge pier groups using slot, *Journal of Agricultural Sciences and Natural Resources*, 14(3), pp174-185. (In Persian).
- 6- Lança, R., Fael, C., Maia, R., Pêgo, J.P. and Cardoso, A.H., 2013. Clear-water scour at submerged pile groups. 10.1061/(ASCE)HY.1943-7900.0000770, 1089-1098.
- 7- Melville, B.W. and Chiew, Y.M., 1999. Time scale for local scour at bridge piers. *Journal of Hydraulic Engineering*, 125(1), pp.59-65.
- 8- Mousavi Jahromi, H., and Taghizadeh, K. 2006. The influence of the shape and number of bridge piers on erosion. *Seventh International Seminar on River Engineering*, Ahvaz, Shahid Chamran University. (In Persian).
- 9- Movahedi, N., Dehghani, A.A., Zahiri, A.R. and Aarabi, M.J., 2015. Investigation the efficiency of using bed sill in reduction of scour around single pier and side-by-side piers. *Journal of Water and Soil Conservation*, 21(6), pp.191-205. (In Persian).

-
- 10-Nazariha, M. 1996. Design relationships for maximum local scour depth for bridge pier groups. PhD Dissertation, University of Ottawa.
- 11-Nourzad, H., Heidarpour, M., and Afzali Mehr, R. 2001. Controlling the local scouring of the bridge foundation by using gaps in the foundation group. *Proceedings of the 2nd Iranian Hydraulic Conference, Technical Faculty of Tehran University.* (In Persian).
- 12-Sheppard D. M. and Renna R. 2005. Bridge scour manual. florida department of transportation. 605 Suwannee Street. Tallahassee. Florida. 129 pp.
- 13-Zhao, G. Sheppard, D. M. 1999. The effect of flow skew angle on sediment scour near pile groups. Stream Stability and Scour at Highway Bridges; *Compilation of Conference Papers, Reston (U.S.): ASCE.*